

多孔介质中流体流动及扩散的耦合格子 Boltzmann 模型

刘高洁 郭照立 施保昌

A coupled lattice Boltzmann model for fluid flow and diffusion in a porous medium

Liu Gao-Jie Guo Zhao-Li Shi Bao-Chang

引用信息 Citation: [Acta Physica Sinica](#), 65, 014702 (2016) DOI: 10.7498/aps.65.014702

在线阅读 View online: <http://dx.doi.org/10.7498/aps.65.014702>

当期内容 View table of contents: <http://wulixb.iphy.ac.cn/CN/Y2016/V65/I1>

您可能感兴趣的其他文章

Articles you may be interested in

[流体力学拉氏守恒滑移线算法设计](#)

[Conservative sliding algorithms for hydrodynamics](#)

物理学报.2015, 64(19): 194701 <http://dx.doi.org/10.7498/aps.64.194701>

[干斜压大气拉格朗日原始方程组的半解析解法和非线性密度流数值试验](#)

[Semi-analytical solution of the dry baroclinic Lagrange primitive equation and numerical experiment of a non-linear density current](#)

物理学报.2015, 64(19): 194702 <http://dx.doi.org/10.7498/aps.64.194702>

[疏水表面减阻的格子 Boltzmann 方法数值模拟](#)

[Numerical investigation on drag reduction with hydrophobic surface by lattice Boltzmann method](#)

物理学报.2015, 64(18): 184702 <http://dx.doi.org/10.7498/aps.64.184702>

[燃烧系统的离散 Boltzmann 建模与模拟研究进展](#)

[Progress of discrete Boltzmann modeling and simulation of combustion system](#)

物理学报.2015, 64(18): 184701 <http://dx.doi.org/10.7498/aps.64.184701>

[自由上浮气泡运动特性的光滑粒子流体动力学模拟](#)

[Numerical simulation on the motion characteristics of freely rising bubbles using smoothed particle hydrodynamics method](#)

物理学报.2015, 64(17): 174701 <http://dx.doi.org/10.7498/aps.64.174701>

多孔介质中流体流动及扩散的耦合格子 Boltzmann 模型*

刘高洁¹⁾²⁾ 郭照立^{2)†} 施保昌²⁾

1)(华东理工大学, 煤气化及能源化工教育部重点实验室, 上海 200237)

2)(华中科技大学, 煤燃烧国家重点实验室, 武汉 430074)

(2015年6月23日收到; 2015年8月20日收到修改稿)

多孔介质中高 Péclet 数和大黏性比下混溶流体的流动和扩散广泛存在于二氧化碳驱油、化工生产等工业过程中。用数值方法对该问题进行研究时, 关键在于如何正确描述高 Péclet 数和大黏性比下多孔介质内流体的行为。为此, 提出了一种基于多松弛模型和格子动理模型的耦合格子 Boltzmann 模型。通过 Chapman-Enskog 分析, 证明该模型能有效求解不可压 Navier-Stokes 方程和对流扩散方程。数值结果表明, 该模型不仅具有二阶精度和良好的稳健性, 而且对于高 Péclet 数和大黏性比的问题具有良好的数值稳定性, 为模拟此类问题提供了有效工具。

关键词: 格子 Boltzmann 模型, 多孔介质, 流动与扩散, 高 Péclet 数和大黏性比

PACS: 47.11.-j, 47.56.+r, 47.20.Gv

DOI: 10.7498/aps.65.014702

1 引言

多孔介质中混溶流体的流动和扩散在诸如二氧化碳埋存、石油开发、微机电系统等工程实际中有着广泛的应用^[1–4]。由于多孔介质孔隙结构和内部流体行为的复杂性, 利用实验和理论方法对其进行研究时受到一定限制。随着计算机技术和数值计算方法的发展, 数值模拟方法已成为研究此类问题的重要手段。用数值方法模拟孔隙尺度下多孔介质中混溶流体的流动与扩散时, 获取复杂多孔介质系统中流体的信息是成功求解此类问题的关键。作为一种有效的数值计算方法, 格子 Boltzmann (LB) 方法在处理复杂固体边界和多组分流体时具有天然优势, 能非常方便地模拟孔隙尺度多孔介质中流体的行为。近年来, LB 方法已在诸多问题中得到成功应用, 例如, 利用 LB 方法, Ghassemi 和 Pak^[5]

对多孔介质结构参数进行了测定; Song 等^[6]对气液固多相流进行了模拟; 此外, 研究人员还对多组分反应流^[7]、湍流^[8]、微通道流动^[9]等问题进行了 LB 模拟。尽管研究人员提出了各种 LB 模型来模拟不同的问题^[10,11], 但值得注意的是, 对于多孔介质中高 Péclet (Pe) 数和大黏性比下混溶流体的流动和扩散这一类具体问题, 现有数值方法在模拟此类问题时还存在一些困难(如数值不稳定)。所以, 需要发展一个能有效解决该类问题的模型。

在孔隙尺度下, 多孔介质中两种混溶流体的流动与扩散问题可用不可压 Navier-Stokes 方程耦合对流扩散方程来描述。在求解此方程组时, 可将流动方程和浓度方程单独处理, 分别对其建立相应的格子 Boltzmann 方程(LBE)。具体地, 对于流动方程, 由于在工程应用中常遇到两混溶流体间黏性比很大的情况(如超临界 CO_2 和原油), 用数值方

* 国家杰出青年科学基金(批准号: 51125024)和国家重点基础研究发展计划(批准号: 2011CB707305)资助课题。

† 通信作者。E-mail: zlguo@hust.edu.cn

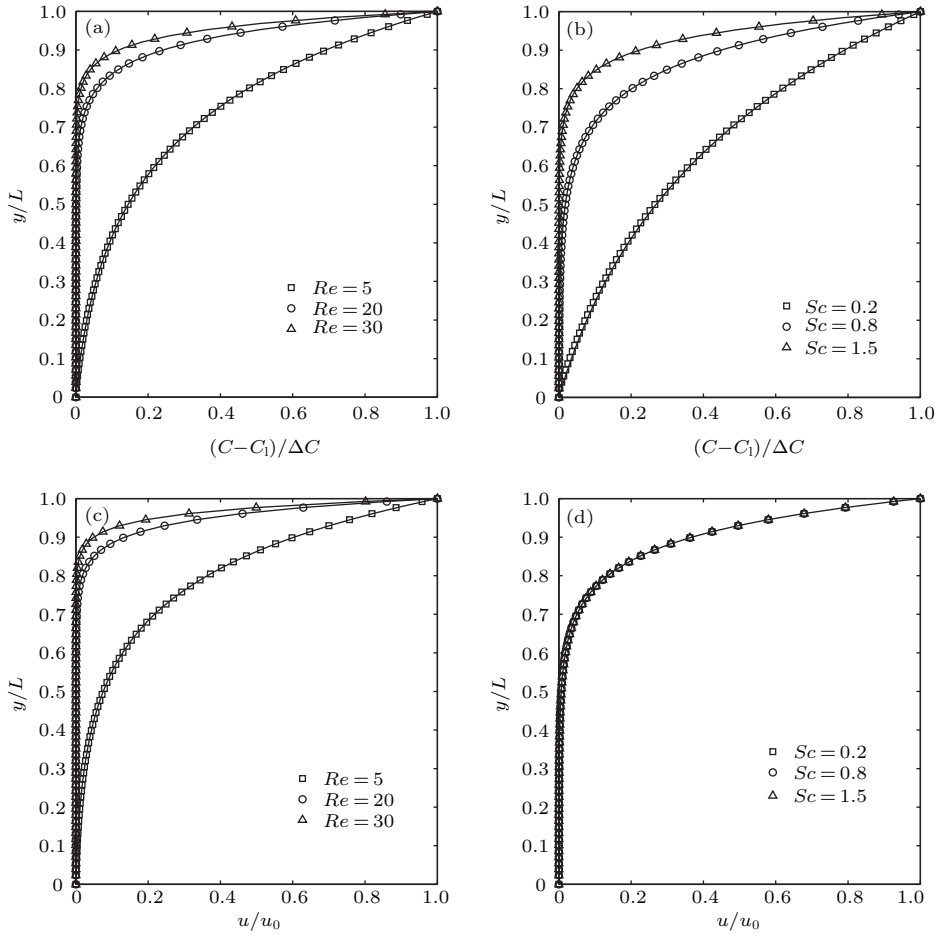


图1 (a) 不同 Re 时的平板流浓度分布 ($Sc = 0.71$, $Ra_c = 100$); (b) 不同 Sc 时平板流浓度分布 ($Ra_c = 100$, $Re = 10$); (c), (d) 为与 (a), (b) 对应的速度分布; 其中实线是解析解, 符号为数值结果

Fig. 1. (a) Concentration profiles at different Re ($Sc = 0.71$, $Ra_c = 100$); (b) concentration profiles at different Sc ($Ra_c = 100$, $Re = 10$); panels (c) and (d) are the corresponding velocity profiles of panels (a) and (b). Solid lines are analytical solutions and symbols are numerical results.

其中, v_0 是注入速度, $\mathbf{u} = (u, v)$ 是流体速度, g 是重力加速度, $\beta_c = (\partial \rho / \partial C)$ 是溶质膨胀系数, $C_0 = (C_h + C_l)/2$ 是平均浓度. 该问题的解析解为^[21]

$$u = u_0 \left(\frac{e^{Rey/L} - 1}{e^{Re} - 1} \right), \quad (21)$$

$$v = v_0, \quad (22)$$

$$C = C_0 + \Delta C \left(\frac{e^{Sc \cdot Rey/L} - 1}{e^{Sc \cdot Re} - 1} \right), \quad (23)$$

其中, L 是管道宽度, 雷诺数 $Re = v_0 L / \nu$, $\Delta C = C_h - C_l$ 是两板间的浓度差, 斯科密特数 $Sc = \nu / D$. 另一个无量纲参数瑞利数的定义为 $Ra_c = g \beta_c \Delta C L^3 / (\nu D)$.

我们模拟了不同 Re 和 Sc 的情况. 在数值模拟中, 网格大小为 $N_x \times N_y = 32 \times 64$, 网格步长是

$\delta_x = L / N_y$, 注入速度 $v_0 = 0.01$, 而其他参数的选取则和 Re 数、 Sc 数和 Ra_c 数相关. 管道出入口采用周期性边界条件, 上、下板的速度和浓度则满足如下条件:

$$\begin{aligned} u(x, y=0, t) &= 0, & u(x, y=1, t) &= u_0, \\ v(x, y=0, t) &= v_0, & v(x, y=1, t) &= v_0, \\ C(x, y=0, t) &= 0, & C(x, y=1, t) &= 1. \end{aligned}$$

经过一段时间的迭代, 计算会达到稳态, 此处达到稳态的准则是

$$\frac{\sum_x \|C(\mathbf{x}, t) - C(\mathbf{x} - 100\delta_t)\|}{\sum_x \|C(\mathbf{x}, t)\|} < 10^{-6}. \quad (24)$$

其中求和是对所有计算格点进行的.

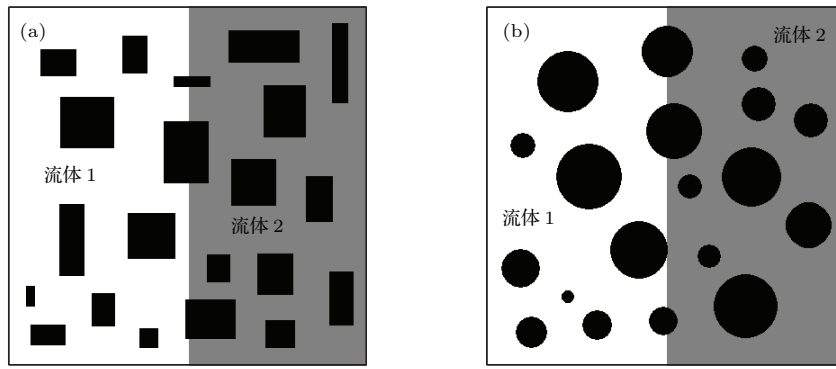


图3 多孔介质内流体流动与扩散示意图, 其中(a), (b)中黑色部分分别为工况1, 2的多孔介质

Fig. 3. Schematic diagram of flow and diffusion in porous medium. The black parts in panels (a) and (b) are the porous solid frame of case 1 and 2, respectively.

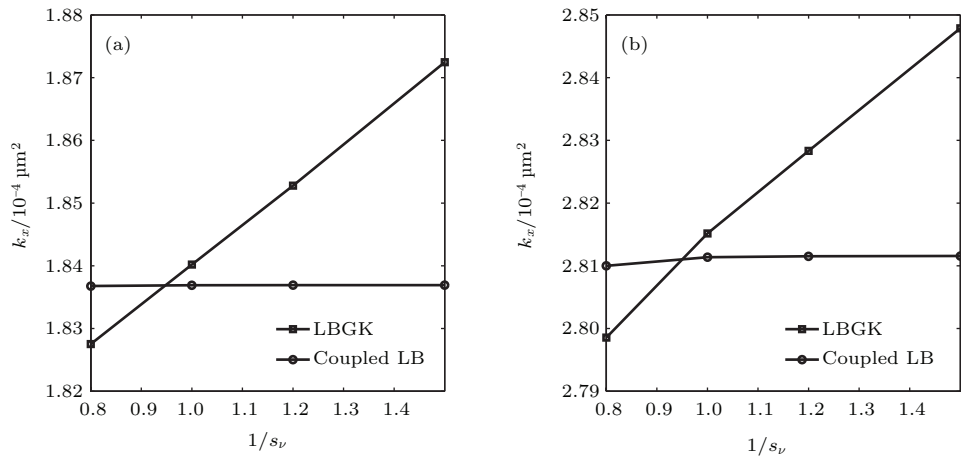
图4 不同 $1/s_v$ (即不同的流体黏性)下的多孔介质渗透率 (a) 工况1的计算结果; (b) 工况2的计算结果

Fig. 4. The permeability of porous medium versus $1/s_v$ (viscosity). Panels (a) and (b) are the numerical results of case 1 and 2, respectively.

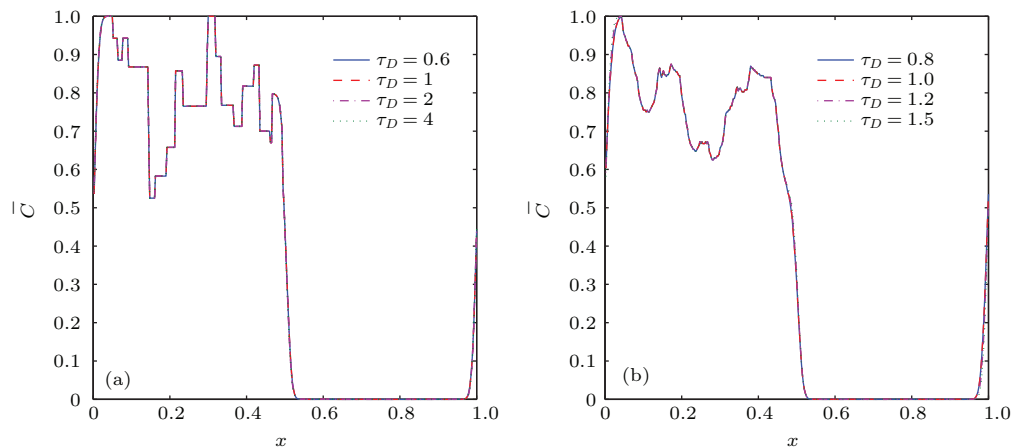
图5 (网刊彩色) 不同 τ_D 时流体的横向平均浓度 $\bar{C}(t=2)$ (a) 工况1的计算结果; (b) 工况2的计算结果
Fig. 5. (color online) The transverse-averaged concentration \bar{C} versus τ_D ($t = 2$). Panels (a) and (b) are the numerical results of case 1 and 2, respectively.

图4给出了不同流体黏性下所测得的两种工况的多孔介质的渗透率. 如图4所示, 对于两种工况下的多孔介质都有如下结果: LBGK模型计算得

到的多孔介质的渗透率与流体黏性相关, 且渗透率随着流体黏性的增加而变大; 而耦合LB模型计算所得的多孔介质渗透率的值几乎一致. 这些结果说

明耦合 LB 模型能保证渗透率与流体黏性无关, 具有良好的稳健性.

接下来考察耦合 LB 模型能否实现在扩散系数 D 相同而松弛时间 τ_D 不同时流体间扩散的一致性. 由于在模拟时 Re 数和 Pe 数固定不变, 所以流体间的扩散是固定的, 此时可通过变化松弛时间 τ_D 来检验耦合 LB 模型的稳健性. 图 5 给出了 $t = 2$ 时不同松弛时间 τ_D 下所测得的两种工况中流体的横向平均浓度. 可以发现, 两种工况中所测得的流体的横向平均浓度完全一致, 表明耦合 LB 模型具有较好的稳健性.

3.3 数值稳定性

现在通过对二维两平板间混溶黏性驱替问题的模拟, 来检验耦合 LB 模型的数值稳定性. 该问题描述如下: 在长为 L 、间隔为 W 的两平板间存在有两种混溶流体, 两流体间的初始界面为平面, 左侧驱替流体黏性为 μ_1 , 右侧被驱替流体黏性为 μ_2 , 且 $\mu_2 > \mu_1$, 驱替流体以平均速度 u_0 向前注入. 该问题的控制方程为(7), (8) 和(13)式组成的方程组. 该问题由三个无量纲参数控制, 即为黏性比 $M = \mu_2/\mu_1$, $Re = u_{\max}W/\nu_2$ 和 $Pe = u_{\max}W/D$, 其中 $u_{\max} = 3u_0/2$ 为入口处的最大速度. 特征时间 $T = W/u_{\max}$. 令驱替流体无量纲浓度为 $C = 1$, 被驱替流体 $C = 0$. 在驱替过程中, 混合流体的黏性将随着两种流体的混合不断变化, 此时混合流体的黏性与浓度密切相关, 假设流体黏性与浓度呈指数关系^[22], 即 $\mu(C) = \mu_2 e^{R(1-C)}$, 其中 $R = \ln M$.

此问题的计算区域取为 $L = 8$ 和 $W = 1$, 两流体的初始界面位于 $x = L/10$ 处, 采用网格大小为 800×100 . 图 6 给出了 $Re = 4.5$, $Pe = 512$ 下, 黏性比为 $R = 1, 2, 3$ 和 4 时两板间的黏性驱替现象. 可以看到, 在 Pe 相对较大的情况下, 两流体间的界面形状受速度场的影响呈抛物线形, 而随着黏性比的增加, 驱替流体被纵向拉伸, 以更为明显的指状向前推进, 这种现象被称为黏性指进. 图 6 中与指进现象图对应的平均浓度图也很好地勾勒了流体间界面的形状. 可以发现, 流体界面与抛物线型的偏差随着黏性比的增加而变大.

下面进一步考察指尖速度 u_{tip}/u_0 与黏性比 M 的关系. 此处, 指尖速度为浓度等值线 $C = 0.5$ 的传播速度. 图 7 给出了 $Pe = 512$ 时, 不同黏性比下的指尖尖端速度 u_{tip}/u_0 . 可以看到, 整体上

u_{tip} 随着黏性比 M 的增加而增加, 当 $1 < M < 10$ 时, u_{tip} 增加较快; 当 $M > 10$ 时, u_{tip} 增加放缓, 在大黏性比 ($M \geq 100$) 下趋于稳定, $u_{\text{tip}}/u_0 \approx 1.79$. 图 7 也给出了 Rakotomalala 等^[23] 的计算结果. 如图所示, 当 $1 < M \leq 100$ 时, 耦合 LB 模型的计算结果与 Rakotomalala 等的计算结果符合得很好; 当 $M = 1$ 时, 尽管计算结果与文献值有一定出入, 但相对误差小于 2%. 以上结果再次验证了耦合 LB 模型的有效性.

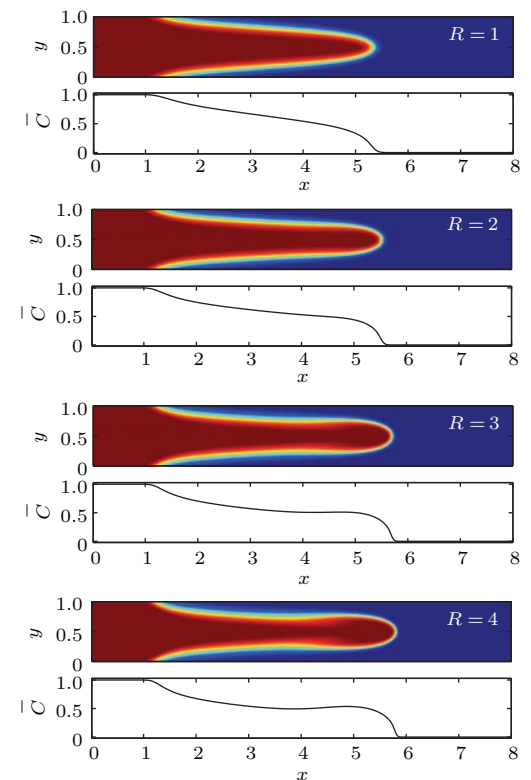


图 6 (网刊彩色) 不同黏性比下两板间的黏性驱替现象及其平均浓度 \bar{C} ($Pe = 512$, $t = 4.5$)

Fig. 6. (color online) The viscous fingering phenomenon and the transverse-averaged concentration \bar{C} versus the viscosity ratio ($Pe = 512$, $t = 4.5$).

下面对耦合 LB 模型和 LBGK 模型在求解对流扩散方程时的稳定性进行比较. 我们固定 $Re = 4.5$, $R = 4$, 对不同网格下的单孔内黏性互溶驱替进行计算, 通过测算计算稳定的最大 Pe 来确定耦合 LB 模型和 LBGK 模型的数值稳定性. 可以发现, 在 $\delta_x = 1/32, 1/64$ 和 $1/100$ 时, LBGK 模型计算稳定的最大 Pe 数分别为 9000, 19000 和 31000. 而耦合 LB 模型在 Pe 数高达 10^{10} 时仍稳定. 这说明耦合 LB 模型在求解高 Péclet 数扩散问题时具有更好的数值稳定性.

现在对耦合 LB 模型和 LBGK 模型在求解不

A coupled lattice Boltzmann model for fluid flow and diffusion in a porous medium*

Liu Gao-Jie¹⁾⁽²⁾ Guo Zhao-Li^{2)†} Shi Bao-Chang²⁾

1) (Key Laboratory of Coal Gasification and Energy Chemical Engineering of Ministry of Education, East China University of Science and Technology, Shanghai 200237, China)

2) (State Key Laboratory of Coal Combustion, Huazhong University of Science and Technology, Wuhan 430074, China)

(Received 23 June 2015; revised manuscript received 20 August 2015)

Abstract

The flow and diffusion of miscible fluid in a porous medium with a high Péclet number (Pe) and large viscosity ratio widely exist in industrial processes, such as oil recovery, geological sequestration of carbon dioxide, and chemical engineering process. When these problems are studied by numerical methods, the key point is to accurately describe the flow dynamics and diffusion process in a porous medium at the same time. As an alternative to conventional numerical methods, the lattice Boltzmann method based on kinetic theory is well suited to pore-scale simulations of miscible fluid flows and molecular diffusion. However, most of the existing lattice Boltzmann models have many difficulties (e.g. robustness and numerical stability) in simulating such systems at high Pe and large viscosity ratio. In this paper, in order to overcome the above difficulties, we propose a coupled lattice Boltzmann model based on the multiple-relaxation-time model and the lattice kinetic scheme for the fluid flow and diffusion, respectively. It can be shown that the incompressible Navier-Stokes equations and the convection-diffusion equation can be derived from the presented coupled model through the Chapman-Enskog procedure. The proposed model is validated by simulating a concentration gradient driven flow in a porous channel. Numerical results demonstrate that the model is of second-order accuracy in space. We further simulate a flow through two types of artificial porous media. The robustness of the presented model is investigated by measuring the permeability and diffusivity under different relaxation times. It is found that the model is insensitive to relaxation parameters. In addition, the miscible viscous displacement in two parallel plates is simulated to test the numerical stability of the model. It is observed that the results accord well with those reported in previous work, and the model is very stable at high Pe and large viscosity ratio in comparison with the standard lattice Bhatnagar-Gross-Krook model. Overall, the coupled lattice Boltzmann model can serve as an effective tool for directly simulating the fluid flow and diffusion at high Pe and large viscosity ratio in the pores of a porous medium.

Keywords: lattice Boltzmann model, porous media, fluid flow and diffusion, high Péclet number and large viscosity ratio

PACS: 47.11.-j, 47.56.+r, 47.20.Gv

DOI: 10.7498/aps.65.014702

* Project supported by the National Science Fund for Distinguished Young Scholars of China (Grant No. 51125024) and the National Basic Research Program of China (Grant No. 2011CB707305).

† Corresponding author. E-mail: zlguo@hust.edu.cn